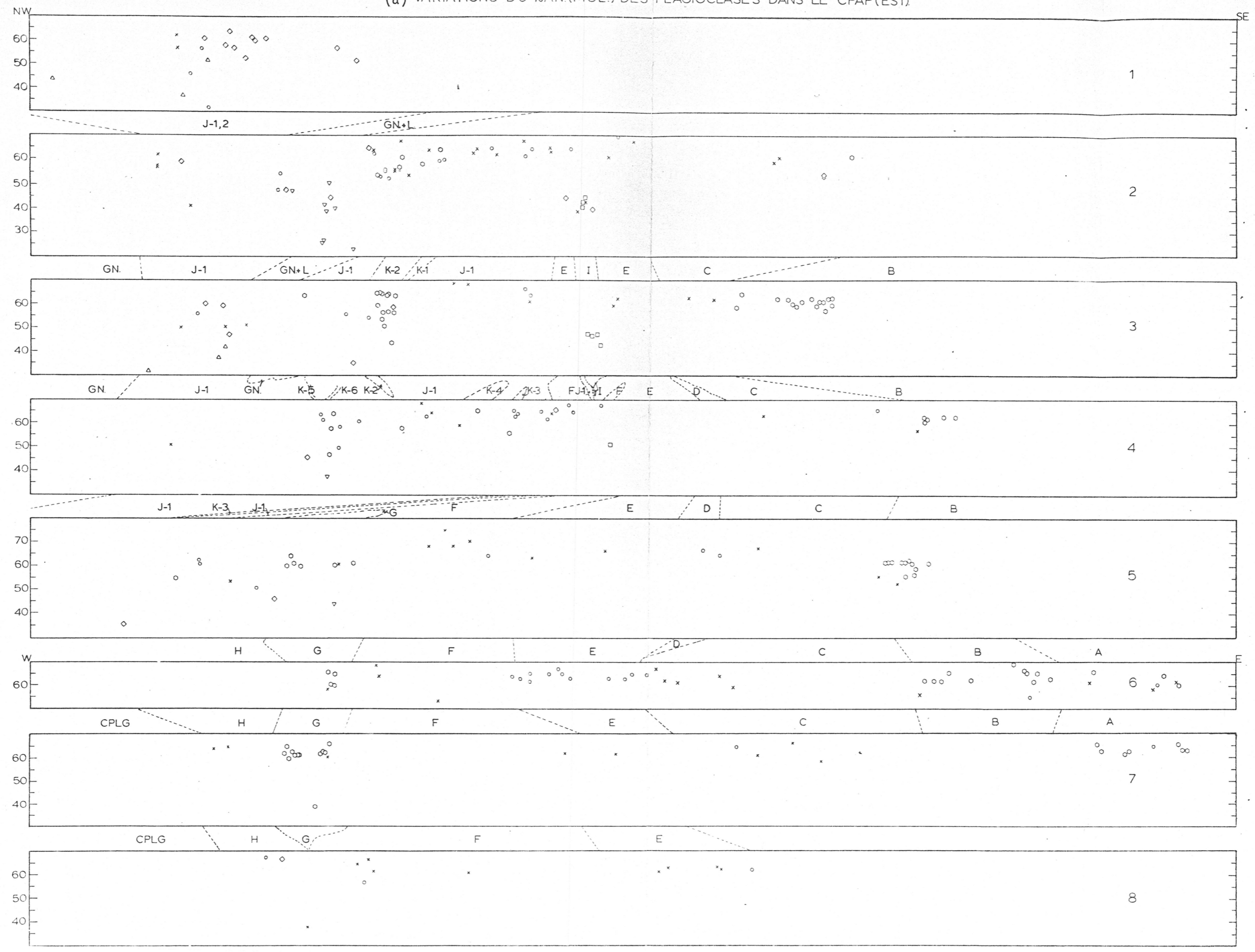


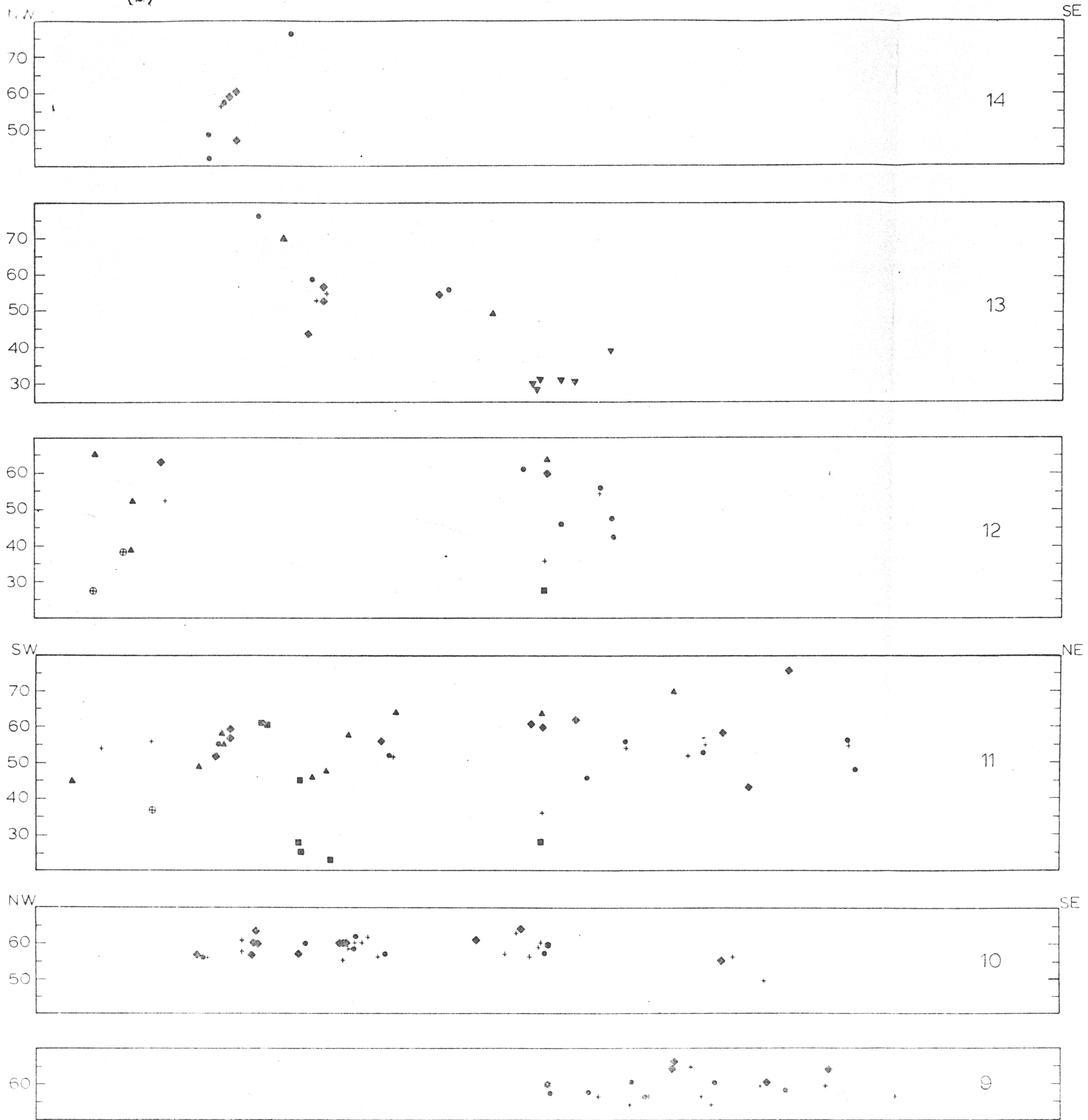
AH 0138 000001

(a) VARIATIONS DU %AN.(MOL.) DES PLAGIOCLASES DANS LE CPAP(EST)



14 0138
P00002

(b) VARIATIONS DU %AN.(MOL.) DES PLAGIOCLASES DANS LE CPAP(OUEST).

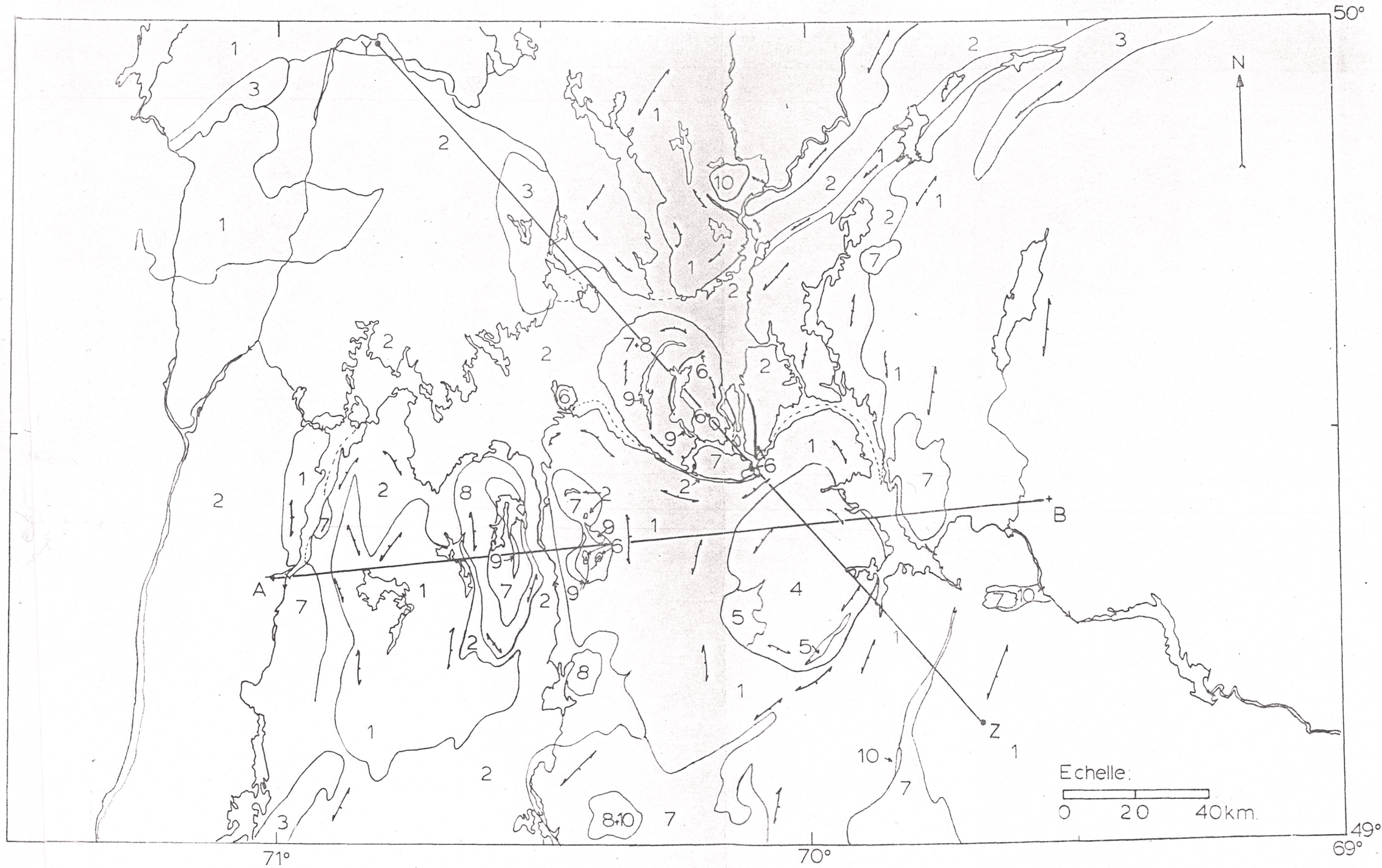


+ ANORTHOSITE. • LEUCONORITE ♦ NORITE ▲ GABBRO ▼ DIORITE • LEUCOTROCTOLITE ■ FERROGABBRO A OLIVINE

⊕ DYKE DE MANGERITE QTZ. Fig. 3.3.2.3d

CARTE GEOLOGIQUE DE LA REGION DE PIMMUACAN.

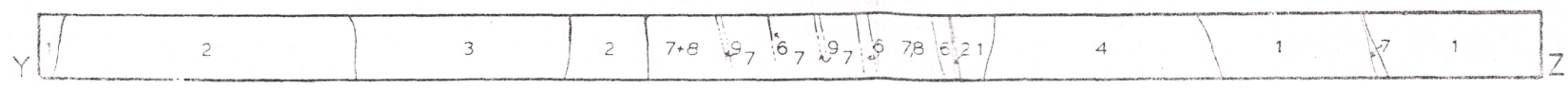
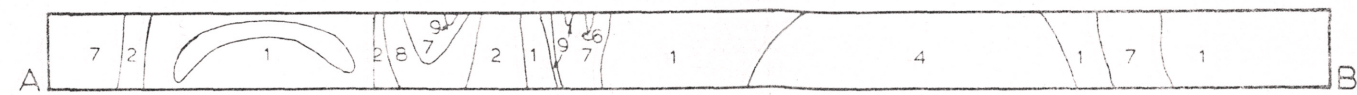
14 0138 p0003



LEGENDE.

- 10 GRANITE.
- 9 LEUCOGRANITE.
- 8 MANGERITE-MANGERITE QTZ.
- 7 CHARNOCKITE.
- 6 DIORITE.
- 5 FERROSYENITE.
- 4 ANORTHOSITE (andésine).
- 3 GABBRO
- 2 ANORTHOSITE (labrador).
- 1 GNEISS.

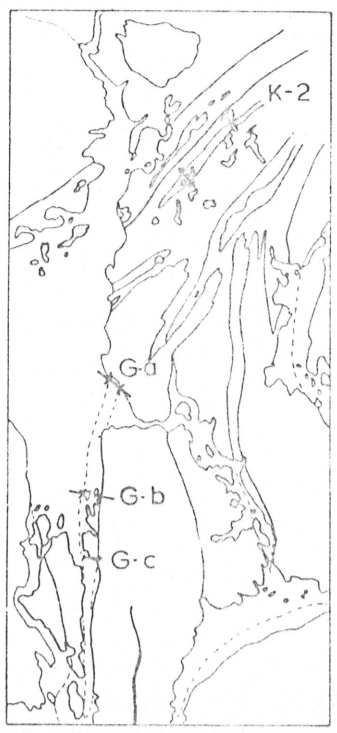
Fig. 1.3 Le contexte géologique régional



14 0138
P00004

COUPES LITHOLOGIQUES DES UNITES G & K-2
ET
VARIATIONS DES % AN. & FO.

- Ao. Anorthosite à olivine. m Microgrenue
- AO Anorthosite olivifère g. Grossière
- LT, T Leucotroctolite, troctolite π Pegmatitique
- LN, No Leuconorite, norite à olivine
- OLIVINE
- PLAGIOCLASE



K-2 G-a G-c
Fig. 3.3.2.3e

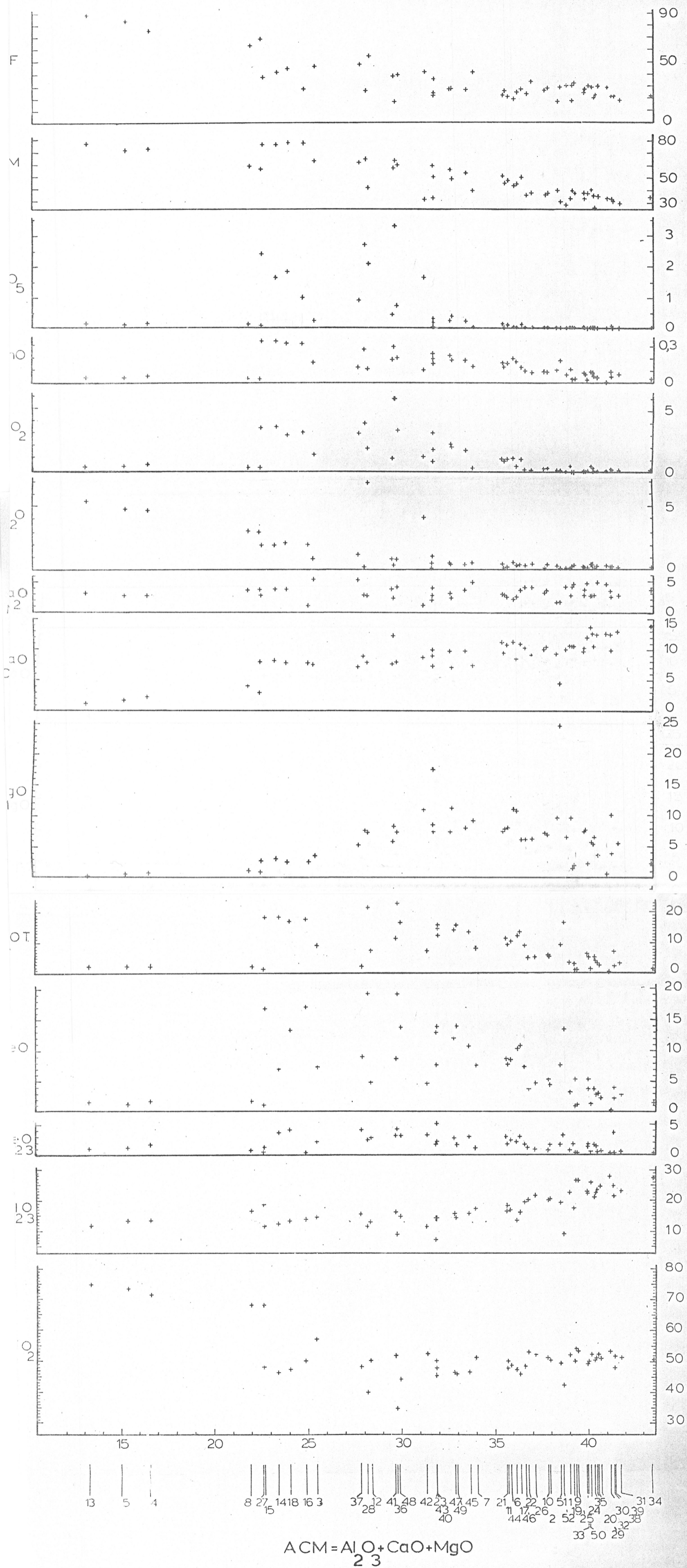


Fig. 3.4.3.1.2a Courbes de variation des oxydes principaux des roches du CPAP en fonction de l'ID: ACM

14 0138 p0005